

Напряженно-деформированное состояние открытой сферической оболочки средней толщины

Н. Д. Панкратова, В. Б. Польчук

Институт прикладного системного анализа НАН Украины и Минобразования и науки Украины, Киев, Украина

Исследуется напряженно-деформированное состояние сферической оболочки средней толщины с отверстием в окрестности полюса в геометрически нелинейной постановке с использованием классической модели Кирхгоффа–Лява и уточненной модели типа Тимошенко, учитывающей деформации поперечного сдвига. Исследование основано на построении ортогональной криволинейной системы координат на срединной поверхности, представляющей собой двусвязную область, а также на сведении исходной нелинейной краевой задачи к последовательности линейных двухмерных и последних к одномерным, интегрирование которых проводится устойчивым численным методом. На примере открытой сферической оболочки средней толщины исследуется влияние деформации поперечного сдвига на ее напряженно-деформированное состояние под действием равномерной и неравномерной нагрузок. Показано, что применение модели типа Тимошенко по сравнению с классической моделью приводит к существенному уточнению перемещений вблизи отверстия.

Ключевые слова: оболочка, отверстие, ортогональная криволинейная система координат, деформации поперечного сдвига.

Введение. Пластины и оболочки, ослабленные отверстием, широко используются в различных отраслях современной техники. При этом на границах и вблизи отверстий возникают требующие учета концентрации напряжений.

Расчет напряженно-деформированного состояния (НДС) пластин и оболочек с отверстием, срединная поверхность которых является двусвязной областью, связан с интегрированием внутри этой области системы дифференциальных уравнений в частных производных при определенных граничных условиях на ограничивающих контурах. При этом вид разрешающей системы дифференциальных уравнений и сложность решения соответствующей краевой задачи существенно зависят от системы координат, которая вводится для параметризации рассматриваемой двусвязной области.

Данной проблеме посвящены многочисленные исследования [1–5] и др. Наиболее простой вид имеют уравнения, когда многосвязная область отнесена к такой ортогональной криволинейной системе координат, где обе ограничивающие область контурные линии совпадают с координатными линиями системы [6].

Настоящая работа посвящена исследованию НДС сферической оболочки с отверстием различной формы в окрестности полюса в геометрически нелинейной постановке с использованием классической модели Кирхгоффа–Лява (КМ) и уточненной модели типа Тимошенко (МТТ), учитывающей деформации поперечного сдвига. На основании предложенного приема построения ортогональной криволинейной системы координат в двусвязной области сложной формы, ограниченной гладкими контурными линиями без

угловых точек, решается задача численной параметризации двусвязной пространственной области путем построения в ней ортогональной криволинейной сетки, топологически эквивалентной прямоугольнику [7].

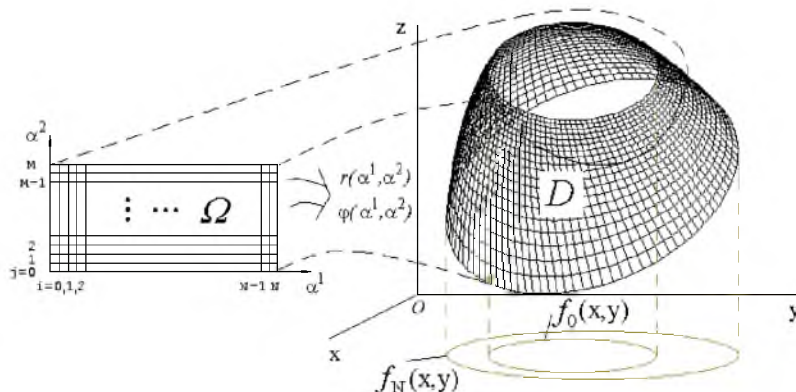


Рис. 1. Численная параметризация сферической оболочки.

Рассмотрим задачу численной параметризации пространственной двусвязной области. Пусть срединная поверхность оболочки D (рис. 1) задана в декартовой системе координат $Oxyz$. Полагаем, что для любой точки поверхности $P(x, y, z)$ известны зависимости

$$x = x(r, \varphi); \quad y = y(r, \varphi); \quad z = z(r, \varphi), \quad (1)$$

где x, y, z – декартовы координаты точки P ; ρ, φ – полярная система координат, причем $0 \leq \varphi \leq 2\pi$, и выполняются условия

$$x(r, 0) = x(r, 2\pi); \quad y(r, 0) = y(r, 2\pi); \quad z(r, 0) = z(r, 2\pi). \quad (2)$$

Область поверхности D ограничена двумя гладкими контурными линиями без угловых точек

$$F_0(x, y, z) = 0; \quad F_N(x, y, z) = 0. \quad (3)$$

Задача численной параметризации заключается в отыскании функций $r(\alpha^1, \alpha^2); \varphi(\alpha^1, \alpha^2)$, которые обеспечивают отображение на D параметрического прямоугольника $\Omega = \{(r, \varphi): 0 \leq r \leq 1; 0 \leq \varphi \leq 2\pi\}$ при выполнении следующих условий:

а) внутри области D два семейства линий $\alpha^i = \text{const}$ ($i = 1, 2$) являются линиями уровня функций $\alpha^1 = \alpha^1(r, \varphi)$, $\alpha^2 = \alpha^2(r, \varphi)$, удовлетворяющих на поверхности уравнениям Лапласа, которые с учетом ортогональности координатной системы (r, φ) записываются в виде

$$\frac{\partial}{\partial r} \left(\Phi \frac{\partial \alpha^1}{\partial r} \right) + \frac{\partial}{\partial \varphi} \left(\Psi \frac{\partial \alpha^1}{\partial \varphi} \right) = 0; \quad \frac{\partial}{\partial r} \left(\Phi \frac{\partial \alpha^2}{\partial r} \right) + \frac{\partial}{\partial \varphi} \left(\Psi \frac{\partial \alpha^2}{\partial \varphi} \right) = 0, \quad (4)$$

где

$$\Phi(r, \varphi) = \sqrt{\frac{a_{22}}{a_{11}}}; \quad \Psi(r, \varphi) = \sqrt{\frac{a_{11}}{a_{22}}};$$

$$a_{11} = \left(\frac{\partial x}{\partial r}\right)^2 + \left(\frac{\partial y}{\partial r}\right)^2 + \left(\frac{\partial z}{\partial r}\right)^2; \quad a_{22} = \left(\frac{\partial x}{\partial \varphi}\right)^2 + \left(\frac{\partial y}{\partial \varphi}\right)^2 + \left(\frac{\partial z}{\partial \varphi}\right)^2;$$

б) на границах области $\alpha^1 = 0$, $\alpha^1 = 1$ должны выполняться условия (3), записанные через r , φ ;

в) для границ $\alpha^2 = 0$, $\alpha^2 = 2\pi$ из (2) следует

$$\varphi(\alpha^1, 0) = 0; \quad \varphi(\alpha^1, 2\pi) = 2\pi; \quad (5)$$

г) везде на поверхности D , включая границы, должно выполняться условие ортогональности системы координат (α^1, α^2) :

$$\Psi \frac{\partial r}{\partial \alpha^1} \frac{\partial r}{\partial \alpha^2} + \Phi \frac{\partial \varphi}{\partial \alpha^1} \frac{\partial \varphi}{\partial \alpha^2} = 0. \quad (6)$$

Выполнив обращение уравнений (4) с учетом условия (6), получим

$$A \frac{\partial^2 r}{\partial (\alpha^1)^2} + B \frac{\partial^2 r}{\partial (\alpha^2)^2} = J^2 \frac{\partial \Phi}{\partial r}; \quad A \frac{\partial^2 \varphi}{\partial (\alpha^1)^2} + B \frac{\partial^2 \varphi}{\partial (\alpha^2)^2} = J^2 \frac{\partial \Psi}{\partial \varphi}, \quad (7)$$

где

$$J = \frac{\partial r}{\partial \alpha^1} \frac{\partial \varphi}{\partial \alpha^2} - \frac{\partial r}{\partial \alpha^2} \frac{\partial \varphi}{\partial \alpha^1};$$

$$A = \Psi \left(\frac{\partial r}{\partial \alpha^2}\right)^2 + \Phi \left(\frac{\partial \varphi}{\partial \alpha^2}\right)^2; \quad B = \Psi \left(\frac{\partial r}{\partial \alpha^1}\right)^2 + \Phi \left(\frac{\partial \varphi}{\partial \alpha^1}\right)^2.$$

Таким образом, для определения $r(\alpha^1, \alpha^2)$; $\varphi(\alpha^1, \alpha^2)$ внутри области D располагаем системой двух уравнений (7), а на каждой из границ – уравнением (6) и соответствующим уравнением из (3).

Для решения задачи (3), (6), (7) используется итерационный метод, который детально изложен в [8].

Математическая постановка задачи расчета напряженно-деформированного состояния оболочки. Задачу о деформации гибких оболочек, в общем случае с одной плоскостью упругой симметрии, будем рассматривать в геометрически нелинейной постановке. При этом выражения для деформаций и перемещений имеют следующий вид:

$$\left\{ \begin{array}{l} \varepsilon_1 = \frac{1}{A} \frac{\partial u}{\partial \alpha^1} + \frac{1}{AB} \frac{\partial A}{\partial \alpha^2} v + k_1 w + \frac{1}{2} \psi_1^2; \\ \varepsilon_2 = \frac{1}{B} \frac{\partial v}{\partial \alpha^2} + \frac{1}{AB} \frac{\partial B}{\partial \alpha^1} u + k_2 w + \frac{1}{2} \psi_2^2; \\ \varepsilon_{12} = \frac{1}{A} \frac{\partial v}{\partial \alpha^1} - \frac{1}{AB} \frac{\partial A}{\partial \alpha^2} u + \frac{1}{B} \frac{\partial u}{\partial \alpha^2} - \frac{1}{AB} \frac{\partial B}{\partial \alpha^1} v + \psi_1 \psi_2; \\ \kappa_1 = \frac{1}{A} \frac{\partial \psi_1}{\partial \alpha^1} + \frac{1}{AB} \frac{\partial A}{\partial \alpha^2} \psi_2 - \frac{1}{2} k_1 \psi_2^2; \\ \kappa_2 = \frac{1}{B} \frac{\partial \psi_2}{\partial \alpha^2} + \frac{1}{AB} \frac{\partial B}{\partial \alpha^1} \psi_1 - \frac{1}{2} k_2 \psi_1^2; \\ 2\kappa_{12} = \frac{1}{A} \frac{\partial \psi_2}{\partial \alpha^1} + \frac{1}{B} \frac{\partial \psi_1}{\partial \alpha^2} - \frac{1}{AB} \left(\frac{\partial A}{\partial \alpha^2} \psi_1 + \frac{\partial B}{\partial \alpha^1} \psi_2 \right) + \\ + k_1 \left(\frac{1}{B} \frac{\partial u}{\partial \alpha^2} - \frac{1}{AB} \frac{\partial B}{\partial \alpha^1} v \right) + k_2 \left(\frac{1}{A} \frac{\partial v}{\partial \alpha^1} - \frac{1}{AB} \frac{\partial A}{\partial \alpha^2} u \right); \\ \vartheta_1 = -\frac{1}{A} \frac{\partial w}{\partial \alpha^1} + k_1 u; \quad \vartheta_2 = -\frac{1}{B} \frac{\partial w}{\partial \alpha^2} + k_2 v, \end{array} \right. \quad (8)$$

где $\varepsilon_1, \varepsilon_2, \varepsilon_{12}$ – компоненты тангенциальной деформации; $\kappa_1, \kappa_2, \kappa_{12}$ – компоненты изгибной деформации и скручивание; A, B – параметры Ламе; k_1, k_2 – главные кривизны координатной системы.

Для классической модели выполняются равенства $\vartheta_1 = \psi_1, \vartheta_2 = \psi_2$, для уточненной модели – $\gamma_1 = \psi_1 - \vartheta_1; \gamma_2 = \psi_2 - \vartheta_2$, где γ_1, γ_2 – углы поворота, вызванные поперечными сдвигами [9].

Уравнения равновесия для усилий и моментов приведены в [6]. Соотношения упругости для уточненной модели дополняются выражениями для перерезывающих усилий:

$$Q_1 = k' G_{13} h \gamma_1; \quad Q_2 = k'' G_{23} h \gamma_2, \quad (9)$$

где G_{13}, G_{23} – модули сдвига; k', k'' – коэффициенты сдвига, принимаемые равными [6].

Итак, системы дифференциальных уравнений, описывающие в произвольной ортогональной криволинейной системе координат (α^1, α^2) двумерную геометрически нелинейную деформацию тонких оболочек, сводятся к разрешающим системам, состоящим из восьми дифференциальных уравнений в частных производных для классической модели и десяти дифференциальных уравнений в частных производных для уточненной модели. Разрешающие системы уравнений имеют вид [6]

$$\frac{\partial \bar{Z}}{\partial \alpha^1} = \bar{G} \left(\alpha^1, \alpha^2, \bar{Z}, \frac{\partial \bar{Z}}{\partial \alpha^2} \right), \quad (10)$$

где $\bar{Z} = \{N_1, N_{12}, Q_1, M_1, u, v, w, \psi_1\}$ (для варианта классической модели), $\bar{Z} = \{N_1, N_{12}, Q_1, M_1, M_{12}, u, v, w, \psi_1, \psi_2\}$ (для варианта уточненной модели) – векторы разрешающих функций; \bar{G} – вектор правой части системы уравнений, который является нелинейной вектор-функцией от \bar{Z} .

Для перехода от полученной двухмерной краевой задачи к одномерной искомым функциям и правым частям системы дифференциальных уравнений в частных производных (10) записываются в виде отрезков тригонометрических рядов:

$$X(\alpha^1, \alpha^2) = X_0(\alpha^1) + \sum_{n=1}^{NH} (X'_n(\alpha^1) \cos n\alpha^2 + X''_n(\alpha^1) \sin n\alpha^2). \quad (11)$$

Представление разрешающих функций в виде рядов Фурье позволяет разделить переменные в исходной системе (10), и двухмерная система уравнений приводится к системе обыкновенных дифференциальных уравнений (ОДУ) относительно амплитудных значений разрешающих функций.

Таким образом, решение задачи сводится с помощью метода линеаризации Ньютона–Канторовича к итерационному процессу, на каждом шаге которого решается краевая задача для системы линейных обыкновенных дифференциальных уравнений большого порядка. При этом первая итерация представляет решение задачи в линейной постановке.

Краевая задача для системы линейных ОДУ большого порядка приводится к семейству задач Коши, которые решаются устойчивым численным методом дискретной ортогонализации [10]. Для вычисления коэффициентов Фурье таблично заданных разрешающих функций используется интерполяция их кубическими сплайнами.

Задача об определении напряженно-деформированного состояния.

На основании предложенного подхода рассматривается задача об определении НДС конструктивного элемента современной техники в виде открытой изотропной сферической оболочки постоянной толщины h , ослабленной круглым отверстием. Коэффициент Пуассона ν составлял 0,3. Конструктивный оболочечный элемент отсекается плоскостями n_1 и n_2 , расположенными на расстояниях $a = 0,3R$ и $b = 0,95R$ от центра сферы радиуса R (рис. 2). Внешний контур оболочки жестко закреплен. Исследуется напряженное состояние оболочки, находящейся как под воздействием равномерного внутреннего давления $q = q_0$, так и внешнего неравномерного, направленного вдоль оси Y (рис. 3) и изменяющегося на участке $j \in (m/2; 3m/2)$ по закону $q = 0,5q_0(1 + \cos(2\pi j/m))$ – рис. 4.

По заданной исходной информации о геометрии оболочки выполнена численная параметризация и построены сетки размерности $n = 20$ ($i = \overline{0, 19}$) окружных линий и $m = 40$ ($j = \overline{0, 39}$) меридиональных линий. Меридиональные линии сеток $j = 0$ и 20 лежат в плоскости симметрии оболочек YZ декартовой системы координат $OXYZ$ (рис. 2, 3), а окружные линии $i = \overline{0, 19}$ отсчитываются от отверстия. Ось Z проходит через центр отверстия и ее направление совпадает с направлением отрезка b (рис. 3).

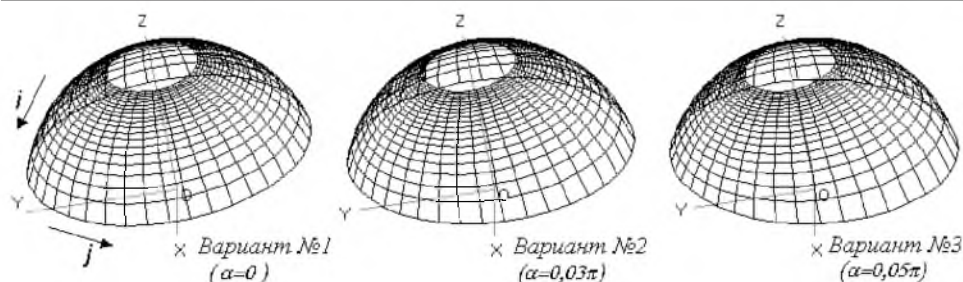


Рис. 2. Реализация численной параметризации.

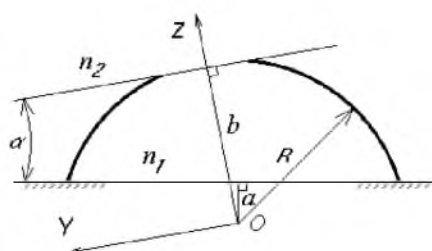


Рис. 3. Геометрия оболочки.

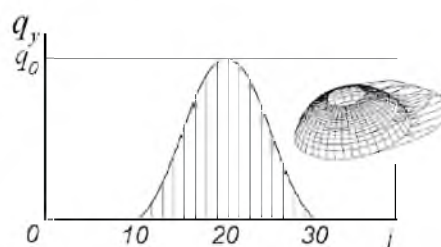


Рис. 4. Распределение неравномерной нагрузки.

Ниже приведены некоторые результаты расчета НДС сферической оболочки, полученные с помощью классической модели и модели типа Тимошенко, позволяющей учитывать деформации поперечного сдвига.

Проведено исследование нормальных перемещений w для оболочки, находящейся под действием равномерного внутреннего давления q_0 , направленного перпендикулярно к срединной поверхности, в зависимости от ее толщины.

Распределения перемещений w вдоль меридиональной линии при $h/R = 1/10$ и $1/5$ приведены на рис. 5. Результаты максимального отличия между значениями перемещений w , рассчитанными по классической и уточненной моделям, для соотношений $h/R = 1/40; 1/20; 1/10; 1/5$ соответственно (в процентах) составляет 4,3; 8,3; 20,7; 31,3. Как и следовало ожидать, с ростом отношения h/R увеличивается максимальное различие между значениями w , рассчитанными по двум рассматриваемым моделям. При этом с увеличением толщины оболочки значения перемещений w , полученные по КМ, максимально превышают таковые, полученные с помощью МТТ, в окрестности отверстия.

Изменение перемещений w вдоль контура отверстия ($i = 0$) и окружной линии ($i = 17$) в зависимости от величины отношения h/R приведено на рис. 6.

Учитывая, что результаты исследования НДС, полученные по КМ и МТТ, существенно отличаются при $h/R \geq 1/10$, далее будем использовать соотношение $h/R = 1/10$.

Распределение нормальных w и меридиональных u перемещений, а также перерезывающих усилий Q_1 и углов наклона нормальных элементов ϑ_1 при внешнем неравномерном воздействии (рис. 4) иллюстрируют рис. 7–11. Распределение перемещений w вдоль контура отверстия и окружной

линии для рассмотренных вариантов месторасположения отверстия, соответствующих величине угла между плоскостями n_1 и n_2 ($\alpha = 0$; $\alpha = 0,03\pi$; $\alpha = 0,05\pi$), показано на рис. 7.

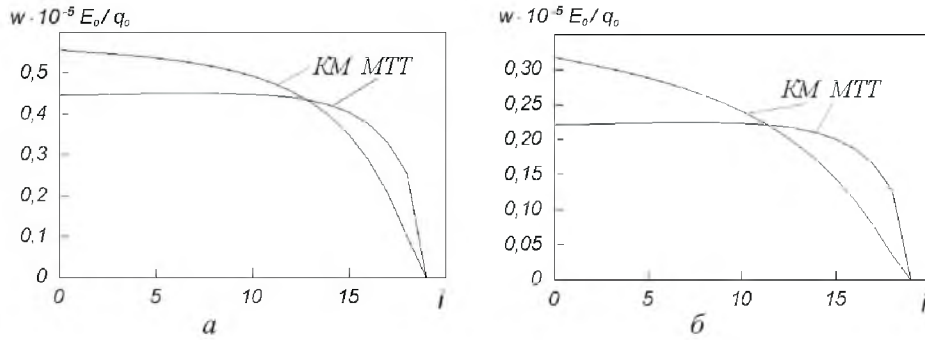


Рис. 5. Распределение перемещений w по меридиональной координате для оболочки толщиной $h/R = 1/10$ (а) и $1/5$ (б).

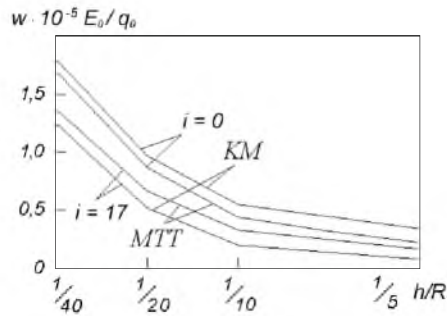


Рис. 6. Изменение перемещений w вдоль окружных линий в зависимости от толщины оболочки.

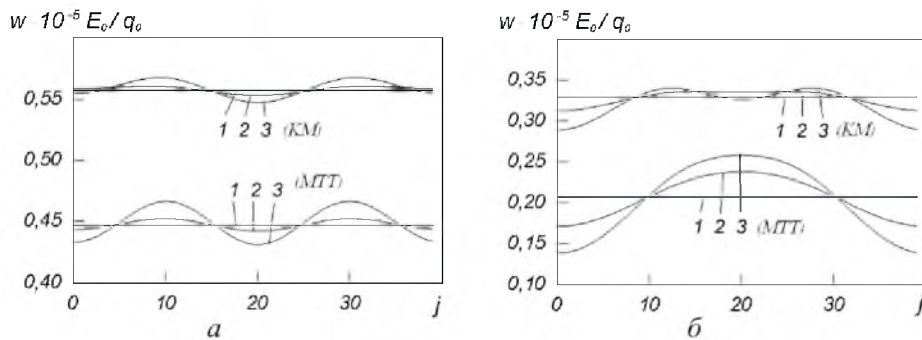


Рис. 7. Распределение перемещений w вдоль контура отверстия $i = 0$ (а) и окружной линии $i = 17$ (б). (Здесь и на рис. 8, 9: 1, 2, 3 соответствуют варианту месторасположения отверстия на рис. 2.)

Из рис. 8 видно, что значения перерезывающих усилий Q_1 и углов наклона нормальных элементов ϑ_1 в окрестности внешнего контура оболочки имеют ненулевые значения, максимума они достигают на внешнем контуре.

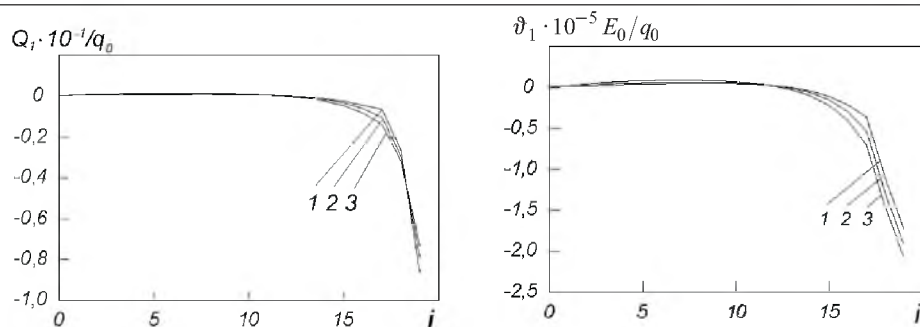


Рис. 8. Распределение перерезывающих усилий Q_i и углов наклона нормальных элементов ϑ_1 для МТТ.

Распределение перемещений w и u вдоль окружной линии i для значения $j = 20$, соответствующего месту максимального действия нагрузки, для жесткого закрепления внешнего контура (сплошные линии) и его шарнирного опирания (штриховые линии) приведено на рис. 9. Как видно из рис. 7–9, значения перемещений w , полученные по указанным для расчета моделям, различаются. Использование КМ свидетельствует, что максимальные значения перемещений w отмечаются вблизи окружной линии ($i = 15$), в то время как с помощью уточненной модели можно получить качественно другую картину: перемещения w достигают максимума вблизи отверстия ($i = 0$). Распределение меридиональных перемещений u , рассчитанных по КМ и МТТ, имеет аналогичный характер, однако использование МТТ позволяет получить значения перемещений, которые больше примерно на 40%.

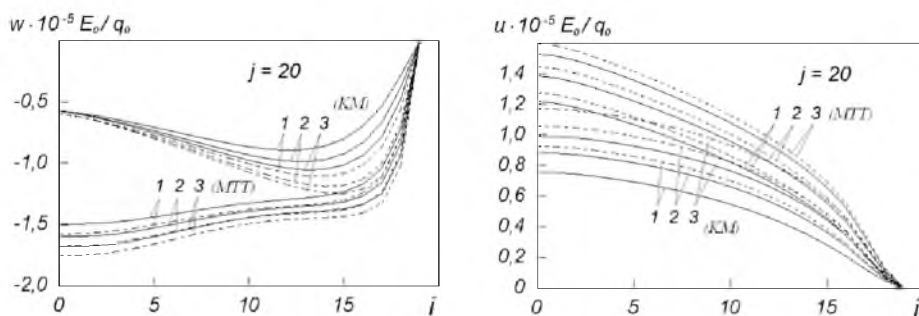


Рис. 9. Распределение перемещений w и u вдоль окружной линии i .

Графики распределения изолиний перемещений w по всей срединной поверхности оболочки для варианта № 3 месторасположения отверстия приведены на рис. 10. Видно, что в зоне $j = 20$ приложения максимальной нагрузки распределения перемещений w , рассчитанные по моделям КМ и МТТ, имеют разную форму, при этом изолинии, рассчитанные с использованием МТТ, представляют вытянутую область, захватывающую часть контура отверстия. Распределение изолиний перемещений в окрестностях $j = 10$ и 30 по моделям КМ и МТТ близко по форме, но расчет по МТТ дает

приблизительно в два раза большие значения перемещений w . Кроме того, использование МТТ позволяет обнаружить наличие перемещений с противоположной от приложения нагрузки стороны.

Графики распределения изолиний перемещений u по всей срединной поверхности оболочки для варианта № 3 месторасположения отверстия приведены на рис. 11. Характер распределения меридиональных перемещений u аналогичен, но расчет по МТТ также дает большие по абсолютной величине значения, например на меридиональной линии $j = 20$ вблизи контура отверстия они на 34% превышают таковые, полученные по КМ.

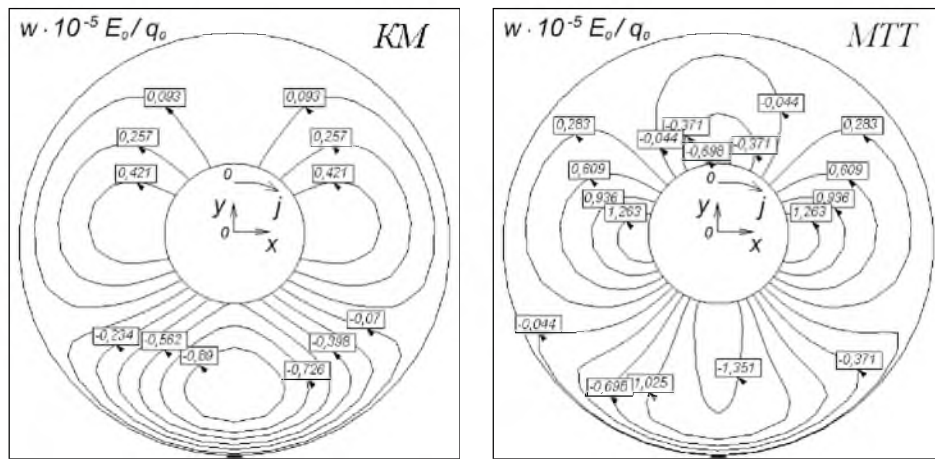


Рис. 10. Представление изолиний нормальных перемещений w .

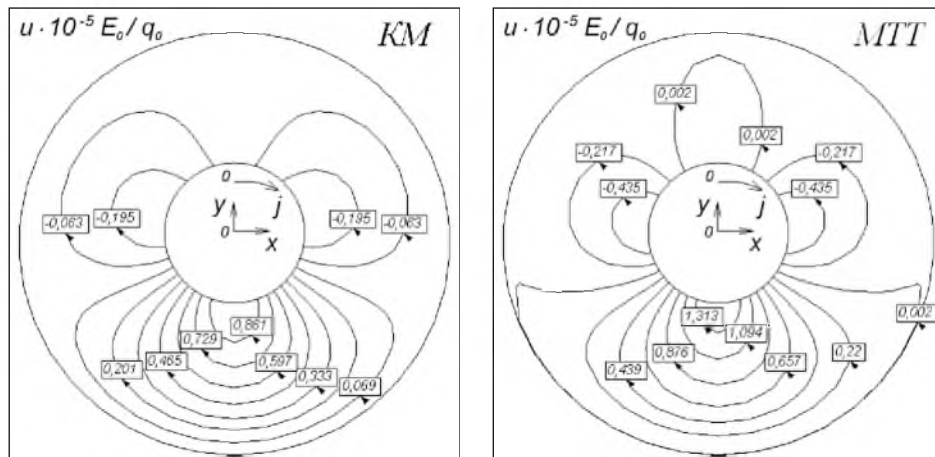


Рис. 11. Представление изолиний меридиональных перемещений u .

Заключение. Представленные результаты показывают, что для оболочек ($h/R \geq 1/10$), находящихся под действием неравномерных нагрузок, при расчете НДС необходимо учитывать деформации поперечных сдвигов, что

приводит к существенному уточнению перемещений вблизи отверстия сферической оболочки. Предлагаемый подход позволяет выбирать подходящие физико-механические параметры и в соответствии с этим создавать рациональные конструктивные оболочечные элементы с вырезами различной формы с целью уменьшения их веса и сохранения прочностных характеристик.

Резюме

Досліджується напружено-деформований стан сферичної оболонки середньої товщини з отвором в околі полюса в геометрично нелінійній постановці з використанням класичної моделі Кірхгоффа–Лява і уточненої моделі типу Тимошенко, яка враховує деформації поперечного зсуву. Дослідження базується на побудові ортогональної криволінійної системи координат на серединній поверхні, яка є двозв'язною областю, а також на зведенні вихідної нелінійної крайової задачі до послідовності лінійних двовимірних і останніх до одновимірних, інтегрування яких проводиться стійким чисельним методом. На прикладі відкритої сферичної оболонки середньої товщини досліджується вплив деформації поперечного зсуву на її напружено-деформований стан під дією рівномірного та нерівномірного навантаження. Показано, що застосування моделі типу Тимошенко порівняно з класичною моделлю приводить до суттєвого уточнення переміщень поблизу отвору.

1. Григоренко Я. М., Тимонин А. М. Численное решение задач о деформации гибких анизотропных пластин сложной геометрии // Докл. АН УССР. – 1990. – № 6. – С. 43 – 47.
2. Довбня Е. Н. Исследование напряженно-деформированного состояния ортотропной оболочки с эллиптическим отверстием // Теорет. и прикл. механика. – 2001. – № 32. – С. 140 – 144.
3. Колоеров С. А., Горянская Е. С. Двухмерное напряженно-деформированное состояние многосвязного анизотропного тела // Механика композитов. Т. 7. Концентрация напряжений. – Киев: А.С.К., 1998. – С. 10 – 26.
4. Chern S. M. and Tuttle M. E. On displacement fields in orthotropic laminates containing an elliptical hole // Trans. ASME. J. Appl. Mech. – 2000. – 67, No. 3. – P. 527 – 540.
5. Gudushouri I., Kipiani G., and Danelia D. Algorithm of solving for the concrete problem of calculating the rectangular plate with the hole of the same form // Пробл. прикл. механики. – 2000. – № 1. – С. 60 – 68.
6. Григоренко Я. М., Василенко А. Т. Методы расчета оболочек. – Киев: Наук. думка, 1981. – 544 с.
7. Панкратова Н. Д., Польшук В. Б. К численному решению задач о деформации анизотропных пластин с отверстием // Пробл. прочности. – 2003. – № 5. – С. 122 – 135.

8. Григоренко Я. М., Крюков Н. Н. Численное решение задач статики гибких слоистых оболочек с переменными параметрами. – Киев: Наук. думка, 1988. – 264 с.
9. Шаповалов Л. А. Об одном простейшем варианте уравнений геометрически нелинейной теории тонких оболочек // Изв. АН СССР. Сер. Механика твердого тела. – 1968. – № 1. – С. 56 – 62.
10. Григоренко Я. М., Панкратова Н. Д. Обчислювальні методи в задачах прикладної математики. – Киев: Либідь, 1995. – 280 с.

Поступила 26. 12. 2005